

Monte Carlo simulationによるPazufloxacin mesilateのAUC/MICの達成率の比較 —患者と健常成人での比較—

阿部教行¹⁾・福田砂織¹⁾・中村彰宏¹⁾・田口善夫²⁾・松尾収二¹⁾

¹⁾天理よろづ相談所病院臨床病理部

²⁾天理よろづ相談所病院呼吸器内科

(2010年3月31日受付)

メシリ酸パズフロキサシン (Pazufloxacin mesilate, PZFX) について、当院でPZFX投与後血中濃度解析を行った患者群8例と臨床第I相試験 (phase I群) 6例の各AUCおよび当院で呼吸器材料より分離された各菌種に対するPZFXのMICを用いて、Monte Carlo simulation (MCS) によりAUC/MICの指標の達成率を測定し、比較検討した。

PZFXのAUCは500mg 1日1回投与時の血中濃度をもとに算出した。またPZFX 500mg 1日2回投与を想定し、各AUCを2倍したもの用いた。AUC/MICの有効性の指標は*Streptococcus pneumoniae*はAUC/MIC \geq 30, その他の菌種 (*Pseudomonas aeruginosa*, *Haemophilus influenzae*, *Klebsiella pneumoniae*) はAUC/MIC \geq 125とし、指標を満たす確率を算出した。その結果、患者群とphase I群でAUCを比較すると、患者群の方が約3倍 (67.9/21.9) 高値であった。またAUC/MICの指標の達成率は、各菌種とも患者群のAUC 2倍量において最も高い達成率を示し、高い順に、*H. influenzae* (98%), *K. pneumoniae* (89%), *S. pneumoniae* (66%), *P. aeruginosa* (41%) であった。これに対し phase I群のAUC 2倍量では、高い順に*H. influenzae* (91%), *K. pneumoniae* (81%), *P. aeruginosa* (5%) および *S. pneumoniae* (0%) であり、特に *S. pneumoniae* と *P. aeruginosa* で患者群より達成率が低い結果となった。これは、患者群の方が高いAUCを示したことによるものであり、phase I群のデータを用いてMCS法で行うと、PZFXの有効性が低く見積もられることが示唆された。このため臨床的なPZFXのAUC/MICを正しく評価するには患者群のPKデータを用いる必要があり、PZFXのAUCが大きくなるため、MICの高い菌種においても有効性が得られると考えられる。

メシリ酸パズフロキサシン (Pazufloxacin mesi-

られている。

late, 以下PZFX) は強い抗菌活性と広い抗菌スペクトルを有する注射用ニューキノロン系薬であり、呼吸器感染症を始め各種感染症に幅広く用い

PZFXを含むフルオロキノロン系薬は抗菌薬のPharmacokinetics/Pharmacodynamics (以下PK/PD) 解析において、Area under the curve/MIC

(以下 AUC/MIC) は臨床効果と相関するとされており、またフルオロキノロン系薬の AUC/MIC のカットオフ値は、グラム陽性菌では $AUC/MIC \geq 30$ 、グラム陰性菌では $AUC/MIC \geq 125$ と言われている¹⁾。

著者らは当院で市中肺炎に対して PZFX が投与された患者群 8 例の血中濃度測定および AUC の解析を行い、PZFX の臨床第 I 相試験²⁾ の健常人（以下 phase I 群）の AUC と比較した結果、患者群の方が高い傾向にあることを報告した³⁾。すなわち、患者群は AUC が高いため、起炎菌の MIC が高値であっても有効となる可能性がある。

そこで今回、患者群および phase I 群の AUC と、当院で呼吸器材料より分離された各菌種に対する PZFX の MIC を用いて、Monte Carlo simulation^{4,5)}（以下 MCS）を行い、患者群と phase I 群における AUC/MIC のカットオフ値の達成率を比較した。MCS は大量の乱数を発生させ、少ないデータからポピュレーションの解析を行う手法である。MCS により AUC/MIC の有効性指標の達成率が上昇すれば、PZFX の臨床的なブレークポイントが設定されると考えられる。

対象

被検菌株は、当院で 2007 年 2 月から 2008 年 6 月までに呼吸器材料から分離された *Pseudomonas aeruginosa* 67 株、*Haemophilus influenzae* 54 株、*Streptococcus pneumoniae* 50 株および *Klebsiella pneumoniae* 32 株とした。

方法

1. MIC 測定

PZFX の MIC 測定は Clinical and Laboratory Standards Institute⁶⁾ に準拠し微量液体希釀法で測定した。薬剤感受性パネルはオーダーメイドパネ

ル（ドライパネル、極東製薬）を用い、測定範囲は $0.015\sim32 \mu\text{g}/\text{mL}$ とした。標準菌株には *Staphylococcus aureus* ATCC29213, *Escherichia coli* ATCC25923, *P. aeruginosa* ATCC27853, *H. influenzae* ATCC49247 および *S. pneumoniae* ATCC-49619 を用いた。

2. AUC の算出

PZFX の AUC は著者ら³⁾ が報告した患者群 8 例の AUC を用いた。すなわち、2005 年 5 月から 2005 年 10 月までに当院呼吸器内科に入院した 15 歳以上の患者で、胸部 X 線検査で浸潤影が認められる有熱の Community-acquired pneumonia 患者の内、解析が可能であった 8 例の AUC を用いた。PZFX の投与法は、1 回 500 mg を 12 時間おきに、30 分かけて経静脈投与した。採血は投与 3 日目に実施し、PZFX の血中濃度測定は高速液体クロマトグラフィー⁷⁾ で実施した。AUC の算出は、WinNonlin[®] (Version 5.1, Pharsight 社) を使用し、2-compartment model により行った。また比較対照は PZFX の phase I 群 (500 mg 1 回投与群、健常人 6 例)²⁾ の血中濃度をもとに患者群と同様 WinNonlin[®] により算出した AUC とした。

3. Monte Carlo simulation

MCS は Crystal Ball 2000 (構造計画研究所) を使用した。患者群および phase I 群の AUC の分布は対数正規分布とした。また、PZFX の通常投与量である 500 mg 1 日 2 回投与を想定し、各 AUC を 2 倍したデータ（患者群 *2, phase I 群 *2）についてもシミュレーションを実施した。

MCS の target attainment は AUC/MIC の達成率とした。すなわち、患者群および Phase I 群について PZFX の AUC 分布および各菌種の MIC 分布から AUC/MIC のシミュレーションを実施した。AUC/MIC の達成率の指標は、グラム陽性菌 (*S. pneumoniae*) では $AUC/MIC \geq 30$ 、その他グラム

陰性菌ではAUC/MIC ≥ 125 とし¹⁾、指標を満たす比率を % で算出した。また MCS の試行回数は 5000 回のシミュレーションを実施した。

結果

1. 呼吸器材料から分離された主要 4 菌種の MIC 分布

4 菌種 (*P. aeruginosa*, *H. influenzae*, *S. pneumoniae*, *K. pneumoniae*) の MIC 分布を Table 1 に示した。各菌種の MIC₅₀ と MIC₉₀ はそれぞれ *P. aeruginosa* が 1 $\mu\text{g}/\text{mL}$ と 32 $\mu\text{g}/\text{mL}$, *H. influenzae* が 0.03 $\mu\text{g}/\text{mL}$ と 0.12 $\mu\text{g}/\text{mL}$, *S. pneumoniae* が 4 $\mu\text{g}/\text{mL}$ と 4 $\mu\text{g}/\text{mL}$ および *K. pneumoniae* が 0.03 $\mu\text{g}/\text{mL}$ と 1 $\mu\text{g}/\text{mL}$ であった。

2. AUC 比較

患者群 8 例の AUC³⁾ と、phase I 群 6 例²⁾ の AUC の比較（平均値 \pm SD）は、患者群は 67.9 \pm 27.87 $\text{hr} \cdot \mu\text{g}/\text{mL}$ 、phase I 群は 21.9 \pm 2.91 $\text{hr} \cdot \mu\text{g}/\text{mL}$ であった。

3. Monte Carlo simulation による AUC/MIC の達成率

各菌種における PZFX の AUC/MIC の達成率を Fig. 1 に示した。図中には AUC/MIC の有効性の指標 (*S. pneumoniae* は AUC/MIC ≥ 30 (点線)、その他グラム陰性桿菌は AUC/MIC ≥ 125 (実

線)) を縦線で示した。また、各菌種における AUC/MIC の指標の達成率を Table 2 に示した。各菌種とも患者群の AUC 2 倍量において最も高い達成率を示し、高い順に、*H. influenzae* (98%), *K. pneumoniae* (89%), *S. pneumoniae* (66%) および *P. aeruginosa* (41%) であった。

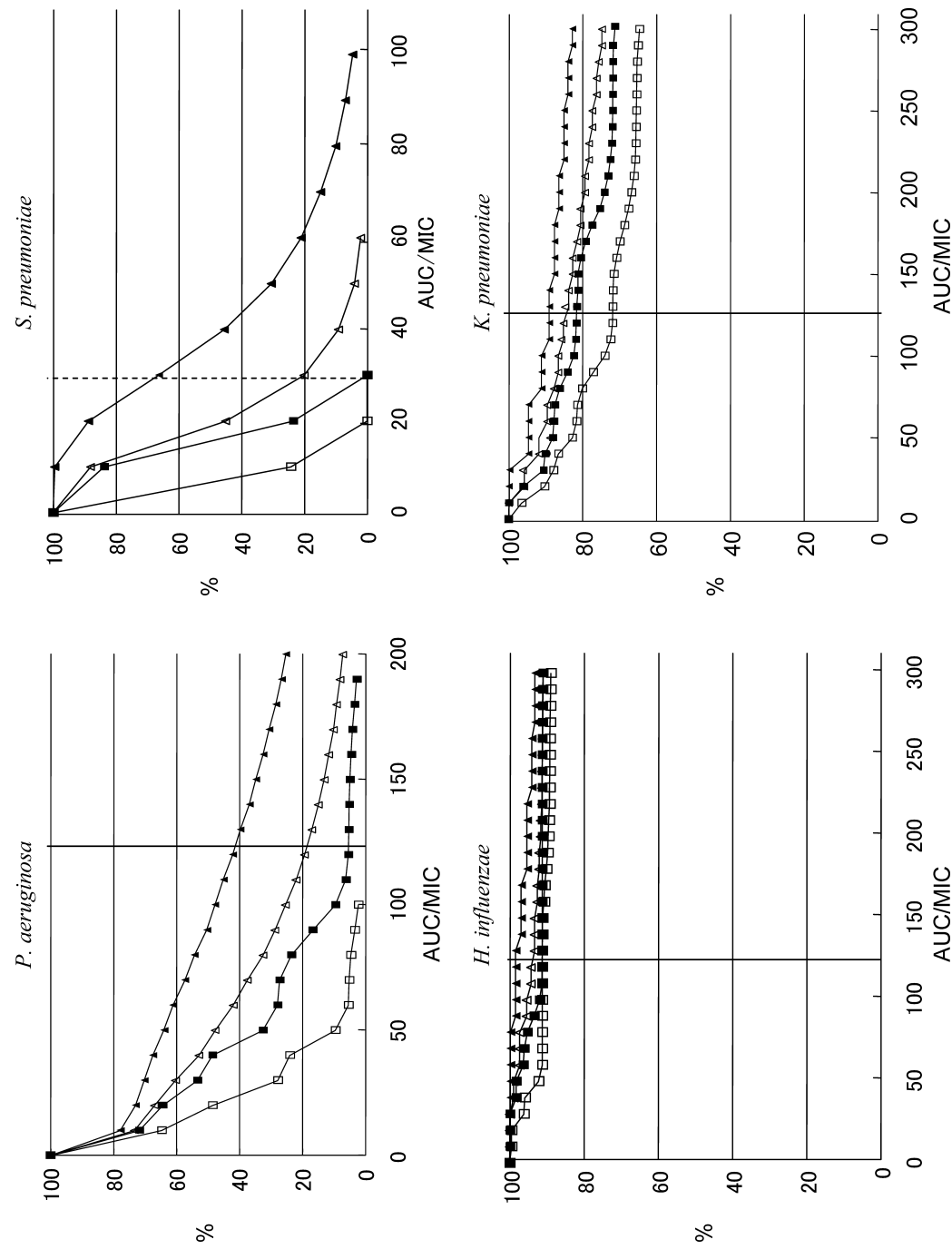
考察

MCS 法により、PZFX を投与された患者群の AUC と、phase I 群の AUC を用い、また呼吸器材料分離株の MIC を用いて PZFX の AUC/MIC 達成率の比較検討を行った。その結果、患者群と phase I とで AUC を比較すると、患者群の方が約 3 倍 (67.9/21.9) 高値を示した。AUC が上昇した原因については既報³⁾にて考察したが、患者群の PZFX の半減期が平均値の比較で phase I 群に対して 1.5 倍 (患者群/phase I 群、2.9 hr/1.9 hr) 延長しており、さらに最高血中濃度 (Cmax) も患者群の方が 2.8 倍 (患者群/phase I 群、30.4 $\mu\text{g}/\text{mL}$ /11.0 $\mu\text{g}/\text{mL}$) 高値であったことが原因として考えられた。PZFX の高齢者における Cmax の上昇や腎機能低下患者における半減期の延長は既報でも論じられており^{8,9)}、また患者群の病態等も AUC の上昇に影響を与える可能性が考えられた。このことから、実際に PZFX を投与される患者では PZFX の血中濃度が上昇するため、起炎菌の MIC が高くても有効となる可能性が考えられた。

Table 1. MIC distribution of pazufloxacin against isolates.

Organisms	n	MIC50	MIC90	MIC ($\mu\text{g}/\text{mL}$)													
				≤ 0.016	0.03	0.06	0.12	0.25	0.5	1	2	4	8	16	32	>32	
<i>P. aeruginosa</i>	67	1	32					1	3	15	17	9	4	2	4	8	4
<i>H. influenzae</i>	54	0.03	0.12	10	36	2	1			3	2						
<i>S. pneumoniae</i>	50	4	4									14	34	2			
<i>K. pneumoniae</i>	32	0.03	1	2	16	3	2	3	2	1	2	1					

Fig. 1. Target attainment curves of pazufloxacin with the AUC/MIC ratio in each species of bacteria.



Solid line: Target value of AUC/MIC ≥ 30 , Dotted line: Target value of AUC/MIC ≥ 125 , White triangles: PZFX 500 mg×1/day by patients (n=8), Black squares: PZFX 500 mg×2/day by phase I (n=6).

次に各菌種について MIC 分布と AUC/MIC の達成率を評価した。*S. pneumoniae* は MIC₅₀, MIC₉₀ともに 4 μg/mL と、1 峰性の MIC 分布で、既報¹⁰⁾とほぼ同様の分布であった。AUC/MIC ≥30 の達成率は phase I 群では 0%, 患者群においても 20% 以下と低い値となり PZFX 500 mg 1 回投与では *S. pneumoniae* 感染症に対しては臨床的な効果が期待できない可能性が示唆された。しかし、PZFX の 500 mg 1 日 2 回投与を想定し AUC を 2 倍したときの達成率は、phase I 群 *2 では 0% であったものが患者群 *2 では 66% と上昇し、約半数以上の *S. pneumoniae* に対して PZFX 500 mg 1 日 2 回投与法は有効であると考えられた。

次に *P. aeruginosa* では、MIC 分布は MIC₅₀, MIC₉₀ でそれぞれ 1 μg/mL, 32 μg/mL と 2 峰性の分布を示した。AUC/MIC ≥125 の達成率の比較では、phase I 群および患者群でいずれも 20% 不満と低値であった。PZFX の 500 mg 1 日 2 回投与を想定し AUC を 2 倍した時の AUC/MIC ≥125 の達成率の比較は、phase I 群 *2 では 5% と低値で、患者群 *2 においても 41% に上昇したが、*P. aeruginosa* に対して PZFX は初期治療薬として選択できないと考えられた。

H. influenzae では、MIC 分布が 0.03 μg/mL を頂点とした 1 峰性の低い MIC 分布を示した。また AUC/MIC ≥125 の達成率は、phase I 群および患者群でいずれにおいても 90% 以上の高い達成率を示した。このことから、*H. influenzae* が起炎菌の場合は初期投与で高い達成率が期待できると考えられた。実際、著者らの PZFX の臨床的有効性を評価した報告³⁾でも、市中肺炎に対し PZFX 500 mg 1 日 2 回投与にて治療を実施した 8 例中 2 例において *H. influenzae* が起炎菌となっており、臨床的にも軽快したため、その報告を指示する結果となつた。

K. pneumoniae では、MIC 分布はなだらかであったが、*H. influenzae* と同様 0.03 μg/mL を頂点

とする 1 峰性の分布を示した。AUC/MIC ≥125 の達成率は、phase I では 72% であったが、患者群では 80% 以上の達成率を示し、さらに患者群 *2 における達成率は約 90% と高い達成率を示した。すなわち *K. pneumoniae* に対して PZFX 500 mg 1 日 2 回投与法は高い有効性が期待できる結果となった。NAKAMURA ら¹¹⁾ が実施した MCS 法の報告では基質拡張型 β-ラクタマーゼ (ESBL) 産生菌に対する PZFX の AUC/MIC ≥125 の達成率は 42.9% と本検討よりも達成率が低い結果であった。AUC の対象が健常成人と、本試験とは異なるが、ESBL 産生菌等の耐性菌では PZFX の有効性が低下する可能性が示唆された。

今回、患者群における PZFX 500 mg 投与時の AUC および 500 mg 2 回投与を想定し AUC を 2 倍した値を用いて、MCS 法で PZFX の AUC/MIC の達成率をシミュレーションしたところ、*H. influenzae* および *K. pneumoniae* では高い達成率が得られ、PZFX の有効性が期待できる結果であったが、*S. pneumoniae* では 66%，さらに *P. aeruginosa* では 41% の達成率と、菌種により AUC/MIC の達成率、すなわち PZFX の有効性が異なった。

本来 PK/PD パラメータは抗菌薬を投与される患者個々について、患者の血中濃度から算出した PK データおよび起炎菌の MIC を用いて算出し、評価される必要があるが、多点採血等の問題等からルーチン業務での実施は困難である。そこで MCS 法により少ない症例から乱数を発生させることで PK/PD パラメータのポピュレーション解析をシミュレーションし、解析することが有効である。しかし今回 phase I 群のような健常人の PK データを用いると、PZFX を含む抗菌薬の有効性が低く見積もられると予想されるため、PZFX の臨床的な AUC/MIC の達成率を算出することは不可能であると考えられる。今回の検討のように、PZFX の MCS を実施する場合は PK データとして患者群の AUC を使用することが必要である。

Table 2. Target attainment of AUC/MIC for clinical isolates.

Organisms	Target value (AUC/MIC)	Target attainment of AUC/MIC (%)					
		Patients ^a n=8		Phase I ^b n=6			
		500 mg×1/day	500 mg×2/day	500 mg×1/day	500 mg×2/day		
<i>P. aeruginosa</i>	125	18	41	0	5		
<i>H. influenzae</i>	125	94	98	91	91		
<i>S. pneumoniae</i>	30	20	66	0	0		
<i>K. pneumoniae</i>	125	84	89	72	82		

a: patient group who underwent blood concentration analysis after the pazufloxacin dosage at this hospital

b: phase I clinical study of pazufloxacin

結語

PZFXのAUCは患者群の方がphase I群よりも約3倍高く、またAUC/MICの達成率も高かった。すなわちMIC値が高い起炎菌に対しても有効性が得られる可能性があるが、PZFXのAUC/MICの達成率は菌種により異なる。

MCSにてPZFXの臨床的なAUC/MICの達成率を算出するには、患者群のAUCを用いて評価する必要がある。

参考文献

- FORREST, A.; D. E. NIX, C. H. BALLOW, et al.: Pharmacodynamics of intravenous ciprofloxacin in seriously ill patients. *Antimicrob. Agents Chemother.* 37: 1073~1081, 1993
- 中島光好、梅村和夫、小菅和仁、他：Pazufloxacin注射薬の臨床第I相試験。日本化学療法学会雑誌 47(S-1): 141~175, 1999
- 田口善夫、馬庭 厚、小松 方、他：肺炎患者におけるpazufloxacin mesilateの血中濃度解析と臨床効果の検討。日本化学療法学会雑誌 56: 467~471, 2008
- AMBROSE, P. G. & D. M. GRASELA: The use of Monte Carlo simulation to examine pharmacodynamic variance of drugs: fluoroquinolone pharmacodynamics against *Strep-*
tococcus pneumoniae. *Diagn. Microbiol. Infect. Dis.* 38: 151~157, 2000
- MONTGOMERY, M. J.; P. M. BERNING, A. AMINIMANIZANI, et al.: Population pharmacokinetics and use of Monte Carlo simulation to evaluate currently recommended dosing regimens of ciprofloxacin in adult patients with cystic fibrosis. *Antimicrob. Agents Chemother.* 45: 3468~3473, 2001
- Clinical and Laboratory Standards Institute: Performance standards for antimicrobial susceptibility testing; fifteenth information supplement (M100-S18). Clinical and Laboratory Standards Institute. Wayne, PA. 2008
- 阿部教行、畠中徳子、中村彰宏、他：カラムスイッティング法を用いた高速液体クロマトグラフィーによるPazufloxacinの血液中濃度測定法の確立。医学検査 56: 1101~1104, 2007
- 高木健三、矢島洋一、吉澤久雄：高齢者におけるpazufloxacin注射薬の体内動態。日本化学療法学会雑誌 48: 633~644, 2000
- 青木信樹、薄田芳丸、石塚康夫、他：Pazufloxacin注射薬の高齢者における体内動態。日本化学療法学会雑誌 47(S-1): 204~220, 1999
- 満山順一、高畠正裕、山城芳子、他：Pazufloxacin注射薬の細菌学的検討。日本化学療法学会雑誌 47(S-1): 37~64, 1999
- NAKAMURA, T.; C. SHIMIZU, M. KASAHARA, et al.

al.: Monte Carlo simulation for evaluation of the efficacy of carbapenems and new quinolones against ESBL-producing *Es-*

cherichia coli. J. Infect. Chemother. 15:
13~17, 2009

Evaluation of target attainment rate of pazufloxacin mesilate using Monte Carlo simulation method

NORIYUKI ABE¹⁾, SAORI FUKUDA¹⁾, AKIHIRO NAKAMURA¹⁾,
YOSIO TAGUCHI²⁾ and SHUJI MATSUO¹⁾

¹⁾ Department of Clinical Pathology, Tenri Hospital

²⁾ Department of Pulmonary Medicine, Tenri Hospital

We calculated achievement rates of target attainment of AUC/MIC using Monte Carlo simulation (MCS). Two doses of pazufloxacin mesilate (PZFX) between q.d. and b.i.d. were compared for each species of bacterium. Concentrations for AUC of PZFX of 8 patients were measured at this hospital, and those from a phase I clinical study (phase I, 6 healthy volunteers) were used. MICs of PZFX were determined for each species of bacterium of respiratory organ origin (*Pseudomonas aeruginosa*, *Haemophilus influenzae*, *Streptococcus pneumoniae*, and *Klebsiella pneumoniae*). AUC per day of 500 mg b.i.d. used twice AUC (PZFX 500 mg×2/day by patient, PZFX 500 mg×2/day by phase I). Target attainment of AUC/MIC was AUC/MIC ≥ 30 in *S. pneumoniae* and AUC/MIC ≥ 125 in the other species of bacteria (*P. aeruginosa*, *H. influenzae*, and *K. pneumoniae*). As a result, patients showed an about 3 times higher AUC than the phase I subjects (67.9/21.9 $\mu\text{g}/\text{mL}$). In addition, the target attainment of AUC/MIC showed the highest rate in PZFX 500 mg×2/day in patients with each type of bacteria: *H. influenzae* (98%), *K. pneumoniae* (89%), *S. pneumoniae* (66%), and *P. aeruginosa* (41%). Target attainment of AUC/MIC was *H. influenzae* (91%), *K. pneumoniae* (81%), *P. aeruginosa* (5%), and *S. pneumoniae* (0%) in phase I. Therefore, the effectiveness of PZFX was estimated to be low using the MCS method with the phase I data.